

路盤支持力係数の評価に関する一考察

○東北大学工学部 学生員 東田守朗  
 " 正員 福田 正  
 " 正員 村井貞規

1. まえがき

コンクリート舗装の路盤・路床は、その構造解析には連続弾性体と仮定することが厳密であると言えども、解析上繁雑であるのでこれを1次元的な挙動を示すバネすなわちWinklerの仮定を適用するほうがより実際的である。しかし、Winklerのバネ物性を表わすいわゆるK値(路盤支持力係数)は当然のことながらその仮定上の誤差が存在する。そこで本研究では連続弾性体ならびWinkler仮定で4種2種類の路盤による舗装構造モデルを解析することにより、K値の挙動特性を検討することとした。

2. 解析方法

解析の対象とした舗装構造モデルを図1に示す。

Winkler上の平板構造モデル(図1(a))において、境界面に生ずる変位 $W_W$ 、応力 $\sigma_W$ は式(1)(2)で示される。また弾性体上の平板構造モデル(図1(b))において、境界面に生ずる変位 $W_E$ 、応力 $\sigma_E$ は式(3)(4)で示される。

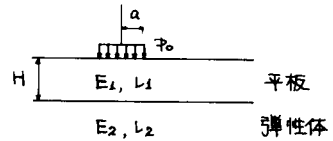
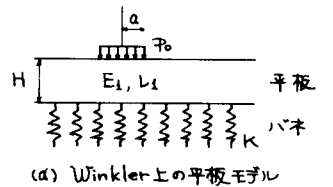


図1 舗装構造モデル

$$W_W = \int_0^{\infty} \frac{P_0 a J_1(ma) J_0(mr)}{Dm^4 + K} dm \quad (1)$$

$$\sigma_W = \frac{6P_0 a}{H^2} \int_0^{\infty} \frac{m^2 J_1(ma) \{ J_0(mr) - (1-\nu_1) J_1(mr) / mr \}}{m^4 + K/D} dm \quad (2)$$

$$W_E = \int_0^{\infty} \frac{P_0 a J_1(ma) J_0(mr)}{Dm^4 + m \frac{E_2}{2(1-\nu_2^2)}} dm \quad (3)$$

$$\sigma_E = \frac{6P_0 a}{H^2} \int_0^{\infty} \frac{m J_1(ma) \{ J_0(mr) - (1-\nu_1) J_1(mr) / mr \}}{m^3 + \frac{E_2}{2(1-\nu_2^2)} D} dm \quad (4)$$

$$D = \frac{EH^3}{12(1-\nu_1^2)}, \quad J_n: n\text{-次の第一種 Bessel 関数}$$

両構造モデルを関係づけるために Boussinesq 理論より得られる(5)式をWinkler上の構造モデルにおける式(1)(2)のKに代入すると式(6)(7)と表わすことができる。

$$K = \frac{2E_2}{\pi A(1-\nu_2^2)} \quad (5)$$

$$W_W = \int_0^{\infty} \frac{P_0 a J_1(ma) J_0(mr)}{Dm^4 + \frac{2E_2}{\pi A(1-\nu_2^2)}} dm \quad (6)$$

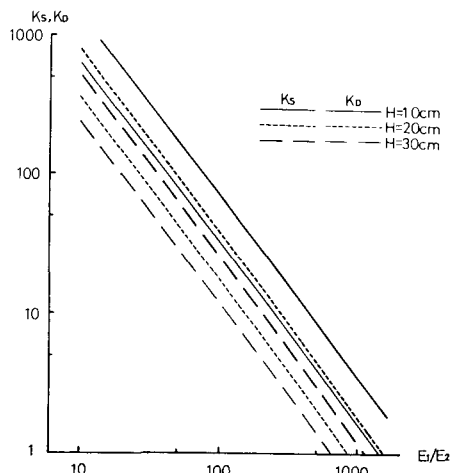


図2  $K_s, K_b$ と $E_1/E_2, H$ の関係

$$\sigma_{\theta} = \frac{6\phi_0 a}{H^2} \int_0^{\infty} \frac{m^2 J_0(am)}{m^4 + \frac{2E_2}{\pi A(1-\nu_2^2)} D} \{J_0(mr) - (1-\nu_1)J_1(mr)/mr\} dm \quad (7)$$

A: 半無限弾性体の表面に平板載荷試験を行なうときの載荷板半径

両構造モデルの境界面に生ずる変位  $w_D, w_E$  および応力  $\sigma_D, \sigma_E$  が等しくおくことにより連続弾性体と仮定された路盤の挙動に相当する Winkler の場合の K 値, すなわち式 (5) における A を求めることができる。いまこのようにして得る A を  $A_D$  について

- $A_D$ : 両構造モデルの境界面での変位  $w_D, w_E$  を等しくする A
  - $A_S$ : 両構造モデルの境界面での応力  $\sigma_D, \sigma_E$  を等しくする A
- とすればよい。

$$K_D = \frac{2E_2}{\pi A_D(1-\nu_2^2)}, \quad K_S = \frac{2E_2}{\pi A_S(1-\nu_2^2)} \quad (8)$$

である。

### 3. 結果および考察

図2より  $K_D, K_S$  は共に上下層の弾性定数比  $E_1/E_2$  の増加とともに減少し、版厚  $H$  が大きくなるほど小さくなることがある。また図3より  $K_D, K_S$  は版厚  $H$  に反比例する値であることがわかる。(4)より  $K_D, K_S$  は  $E_1$  の関数である。つまり、 $K_D \cdot H/E_2, K_S \cdot H/E_2$  と  $E_1/E_2$  との関係を示すと図4となる。

以上より、2種類の路盤を持つ舗装構造モデルの解析結果、K 値は一般に考えられているような路盤・路床に固有の値(弾性定数, ポアソン比  $E_1$  などで表わされる値)ではなく、コンクリート版の弾性定数, ポアソン比, 舗装版厚  $H$  に依存する値であることがわかる。図4より  $K_S, K_D$  は式で表わされ、

$$K_S = 1.11 \sqrt[3]{\frac{E_2}{E_1}} \cdot E_2 \cdot \frac{1}{H}, \quad K_D = 0.47 \sqrt[3]{\frac{E_2}{E_1}} \cdot E_2 \cdot \frac{1}{H} \quad (9)$$

両者は  $K_D = 0.42 K_S$  という関係があることがわかる。

### 参考文献

福田 正: コンクリート舗装の荷重分散機構に関する研究 土木学会論文報告集 3242号 1975.10.

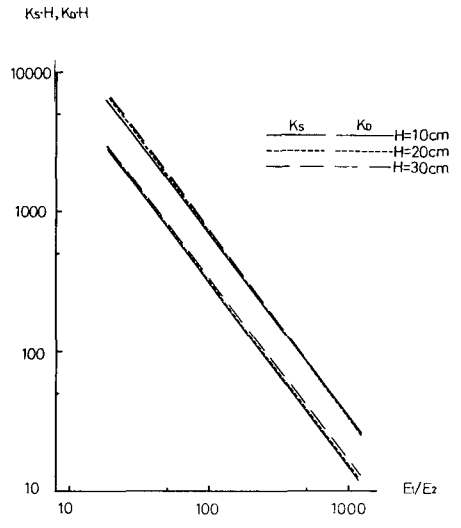


図3  $K_S \cdot H, K_D \cdot H$  と  $E_1/E_2, H$  の関係

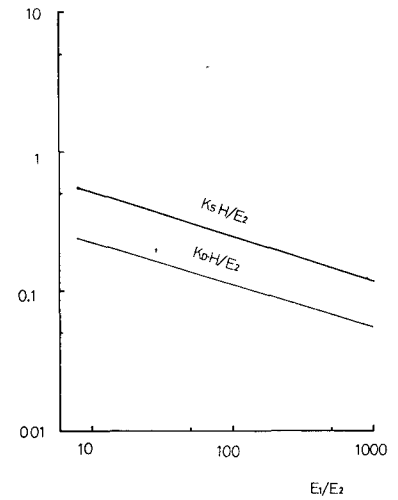


図4  $K_S \cdot H/E_2, K_D \cdot H/E_2$  と  $E_1/E_2$  の関係